#### —— 研究助成報告 ——

# 結節性硬化症に伴うてんかん患者に対する EEG-fMRI・FDG-PETを融合した 新規のてんかん焦点・伝播経路推定法の開発

牧 祐輝<sup>1,2,3)</sup>, 伊藤祐史<sup>1,3)</sup>, 夏目 淳<sup>1,3,4)</sup>

要旨:結節性硬化症 (TSC) に伴うてんかんでは、焦点切除術後の発作予後は必ずしも良好ではなく、頭蓋内電極留置前の焦点及び伝播経路推定の正確性向上が期待される。今回、焦点性てんかん放電に対してEEG-fMRI解析を行ったTSCの5例中4例で皮質結節隣接の大脳新皮質に陽性BOLD変化を認め、うち2例では複数の皮質結節で同様の所見を認めた。広汎性てんかん放電を認めた3例中2例でも、複数の皮質結節隣接の大脳新皮質に陽性BOLD変化を認めた。これらのBOLD変化は皮質結節周囲のFDG低集積域に一致していた。本検討から、皮質結節隣接の大脳新皮質にてんかん原性領域があり、皮質結節間でてんかん性活動が伝播していることが示唆された。また、FDG集積低下の原因がてんかん性活動に伴う機能低下であることが推測され、EEG-fMRIとFDG-PETの併用でより正確に焦点や伝播経路が推定できる可能性が示唆された。

てんかん治療研究振興財団 研究年報 2023;34:61-66

Key Words: 結節性硬化症, EEG-fMRI, FDG-PET, てんかん原性領域, 伝播経路

## 【序論】

結節性硬化症 (TSC) では大脳に皮質結節が多発し、患者の60~90%でてんかんを合併する。TSCに伴うてんかんの半数以上は薬剤抵抗性に経過し、てんかん外科手術が考慮されるが、てんかん原性に関与しうる皮質結節が複数存在することや、てんかん性脳活動の伝播経路が複雑で同定が困難であることなどから、術後の発作予後は必ずしも良好ではない。TSCに伴うてんかん患者における頭蓋内脳波による検討では、てんかん性脳活動が皮質結節から別の皮質結節へ伝播することや1)、皮質結節に加え発作間欠期に高周波振動を認める結節周囲の皮質を

切除することが良好な発作予後と関連することなどが報告されている<sup>2)</sup>。しかし頭蓋内脳波は高侵襲で限られた領域にしか電極を留置できないため、適切な位置に電極を留置するための術前評価が重要となる。またTSCではWest症候群(WS)の合併頻度が高いが、JuhaszらはWSのてんかん性脳活動が皮質病変から起始して脳幹、さらに大脳の広範囲に伝播すると仮説づけており<sup>3)</sup>、TSCに伴うWSにおけるてんかん性脳活動の伝播にも皮質結節が重要な役割を果たす可能性がある。

脳波-機能的MRI同時記録(EEG-fMRI)は、 てんかん放電に対応した血流動態の変化を fMRIのblood oxygenation level-dependent

<sup>1)</sup> 名古屋大学大学院医学系研究科小児科学/成長発達医学

<sup>[〒466-8550</sup> 愛知県名古屋市昭和区鶴舞町65]

<sup>2)</sup>トヨタ記念病院 小児科

<sup>〔〒471-8513</sup> 愛知県豊田市平和町1丁目1番地〕

<sup>3)</sup> 名古屋大学脳とこころの研究センター

<sup>[〒466-8550</sup> 愛知県名古屋市昭和区鶴舞町65]

<sup>4)</sup> 名古屋大学大学院医学系研究科障害児(者) 医療学寄附講座

<sup>〔〒466-8550</sup> 愛知県名古屋市昭和区鶴舞町65〕

Pt.	性別	撮像時年齢	発作間欠期脳波	発作時脳波	
1	女	1) 4か月	ヒプサリズミア	高振幅徐波に伴うスパズム	
		2) 12か月	P4-T4-T6 棘波/鋭波	P4 鋭徐波 → 右半球に拡延	
2	男	1) 10か月	ヒプサリズミア	高振幅徐波に伴うスパズム	
		2) 18か月	F4-F8 棘徐波	発作なし	
3	女	22歳	広汎性(多)棘徐波	捕捉未	
4	男	9か月	C3-Cz-C4 棘波	C3起始の棘徐波バースト	
5	女	18か月	C4-P4 棘波	C4 高振幅徐波 → 両側前頭部に拡延	
6	女	27か月	Fp1-Fp2 棘波/鋭波	捕捉未	

Tab.1 症例の概要, 脳波所見

(BOLD) 信号によって評価する手法で、てんかん性活動の非侵襲的評価が可能である。焦点てんかんにおける EEG-fMRIの検討では、てんかん放電に対応した BOLD 変化のt 値が最も高い部位が約7割で発作起始と一致することや $^4$ 、同部位が切除部位に含まれると発作予後が良好であることなどが報告されており $^5$ )、EEG-fMRIのてんかん焦点推定への有用性が示唆されている。しかし、てんかん原性をもちうる病変が複数存在する TSC における EEG-fMRIの有用性は明らかでない。

今回TSCに伴うてんかん患者にEEG-fMRI 撮像を行い、別の低侵襲モダリティとして FDG-PETを相補的に融合した新規のてんかん 焦点伝播経路を推定する新規手法を開発するこ とを目的とした。

## 【方法】

2018年5月から2023年1月の間に名古屋大学 医学部附属病院あるいは関連施設を受診した TSC患者のうち、研究参加に同意が得られた 10名を対象とし、延べ16回のEEG-fMRI 撮像 を試みた。West症候群 (WS) 患児に対する撮 像はACTH療法開始前に行った。本研究は名 古屋大学医学部倫理審査委員会で承認されており、患者または患者の保護者から書面による同 意を得た上で行った。

MRI撮像には名古屋大学脳とこころの研究セ ンターにある3テスラの Magnetom Verio (独国 Siemens社)を用いて3D-T1強調画像を撮像し、 fMRI 撮像は以下の条件で行った:TR=2.5秒. TE=30ミリ秒、FOV=192mm、flip angle=80°. 3mmスライスの軸位断像39枚、計360ボリュー ム(15分間)。脳波の記録にはGES 400(米国 EGI社)を用い、32チャンネル、サンプリング 周波数1kHzで記録を行った。T2強調画像もし くは3D-T2強調画像の撮像は名古屋大学脳と こころの研究センターもしくは名古屋大学医学 部附属病院で行った。MRI撮像に際し、小児ま たは知的発達症を伴う患者では体重1kgあたり トリクロホスナトリウム80mg(最大2000mg) の内服で鎮静を行った。FDG-PETの撮像は名 古屋大学医学部附属病院で行った。

MRI 画像は SPM12 (http://www.fil.ion.ucl. ac.uk/spm/software/spm12) を用いて前処理,標準化を行った。脳波はNetStation (米国EGI社)を用いてgradient artifacts, ballistocardiogram artifactsを除去した後,WS発症時においては睡眠中に間欠的に出現するヒプサリズミアの起始と終了をマークして時間幅のあるイベントとし、その他のてんかん放電についてはその起始部をマークしてイベントとした。

EEG-fMRI解析にもSPM12を用いた。同定された一連のイベントに、イベントから血流の

	皮質結節の部位(数)	t-max (t値/MNI座標)	2 <sup>nd</sup> highest( <i>t</i> 值/MNI座標)	3 <sup>rd</sup> highest(t值/MNI座標)
1-1)	L-F(1), L-P(1), R-P(2), R-T(1)	L-P (7.46/-56,-12,42)	R-P (7.13/50,-22,44)	R-O (6.78/16,-80,20)
1-2)	L-1 (1), L-1 (1), R-1 (2), R-1 (1)	R-P (4.50/30,-44,62)	L-P (3.69,-36,-22,48)	L-T (3.68/-56,-26,6)
2-1)	L-F(2), R-F(3), L-P(1), R-P(1), R-T(1)	R-F (9.62/2,64,28)	R-thalamus (9.40/10,-28,2)	R-F (9.07/56,14,32)
2-2)	R-P(1), R-T(1)	L-F (5.22/-2,56,30)	R-F (4.72/52,20,16)	R-F (4.63/40,10,56)
3	L-F(2), R-F(2), L-P(1), R-P(1), L-O(1), R-O(2), L-T(1), R-T(2)	L-P (9.91/-16,-44,80)	R-T (9.29/50,-36,36)	L-F (9.20/-32,16,34)
4	L-F(1), R-P(1)	L-F (7.23/-40,4,50)	R-F (6.74/34,-6,56)	R-thalamus (6.41/8,-24,8)
5	L-F(9), R-F(9), L-P(4), R-P(2), L-T(3), R-T(3), L-O(2), R-O(3)	L-thalamus (4.67/-6,-26,10)	R-thalamus (4.42/4,-18,8)	R-F (3.93/10,20,58)
6	L-F(8), R-F(8), L-P(2), R-P(3), L-O(1), R-O(3), L-T(4), R-T(6)	L-O (47/-16,-64,-4)	L-F (43/-28,48,18)	L-O (42/-16,-74,6)

Tab. 2 皮質結節の部位と解析ごとのBOLD変化

赤字は皮質結節隣接の大脳新皮質に陽性BOLDを認めた箇所を示す。 Pt.6のt 値欄は subsecond 解析の activation frequency を呈示する。L: 左、R: 右、F: 前頭葉、P: 頭頂葉、O: 後頭葉、T: 側頭葉。

ピークがそれぞれ3秒、5秒、7秒、9秒である4つの血流動態関数 (HRF) を畳み込み、一般線型モデルを用いた事象関連デザインを用いて一辺2mmのボクセル毎に独立してt 検定を行った $^6$ )。有意なBOLD変化は、いずれかのHRFを用いた解析でt 値が3.1 を超えるボクセルが5つ以上隣接したものとした $^7$ )。この手法で有意なBOLD変化を認めなかった症例においては脳波のtopography mapを用いた subsecond解析を行った $^{8.9}$ )。解析で得られた activation mapのBOLD変化は、T2強調画像と重ね合わせることによって皮質結節との位置関係を評価し、さらにFDG-PET における低集積域とactivation map,皮質結節の位置関係についても評価した。

#### 【結果】

対象患者における試行のうち、3名(7回)は 睡眠が維持できずMRI撮像不能、1名(1記録)はMRI室内の脳波記録でてんかん放電が同定 できず解析不能であったため、残る6名(8記録)を解析対象とした。解析対象となった症例の概 要をTab. 1に示す。撮像時年齢(月齢)の中央 値は生後4か月~22歳(中央値15か月)であった。 8記録のうち、2記録でACTH療法開始前の WSでみられたヒプサリズミア、1記録は広汎 性多棘徐波,5記録は焦点性のてんかん放電(うち2記録はWS遠隔期)であった。

各症例および記録におけるT2強調画像で認 めた皮質結節と陽性BOLD変化の分布をTab. 2に示す。全8記録中6記録でt値の高い陽性 BOLD変化は皮質結節に隣接する大脳新皮質に 認めた。皮質結節の中心に陽性BOLD変化を 認めた症例はなかった。ヒプサリズミアを認め た2記録(症例1,2)と、広汎性多棘徐波を認め た1記録(症例3)では脳幹. 海馬. 視床に加え て大脳新皮質の広範囲に陽性BOLD変化を認 めたが、 症例1および3において、 t値の高い陽 性BOLD変化は複数箇所の皮質結節に隣接す る大脳新皮質に認めた。症例2では皮質結節に 対応した陽性BOLD変化を認めなかった。焦 点性てんかん放電の5記録中2記録では、隣接 する大脳新皮質に陽性BOLD変化を認めた皮 質結節は1つであったが、残る2記録では複数 の皮質結節に対応した陽性BOLD変化を認め、 かつ発作時あるいは発作間欠期脳波でてんかん 原性が示唆された皮質結節に隣接する大脳新皮 質でよりt値やsubsecond解析における activation frequency (AF) が高かった。症例2 は遠隔期撮像においても皮質結節に対応した陽 性BOLD変化を認めなかった。

FDG-PETとの比較では、皮質結節隣接の大

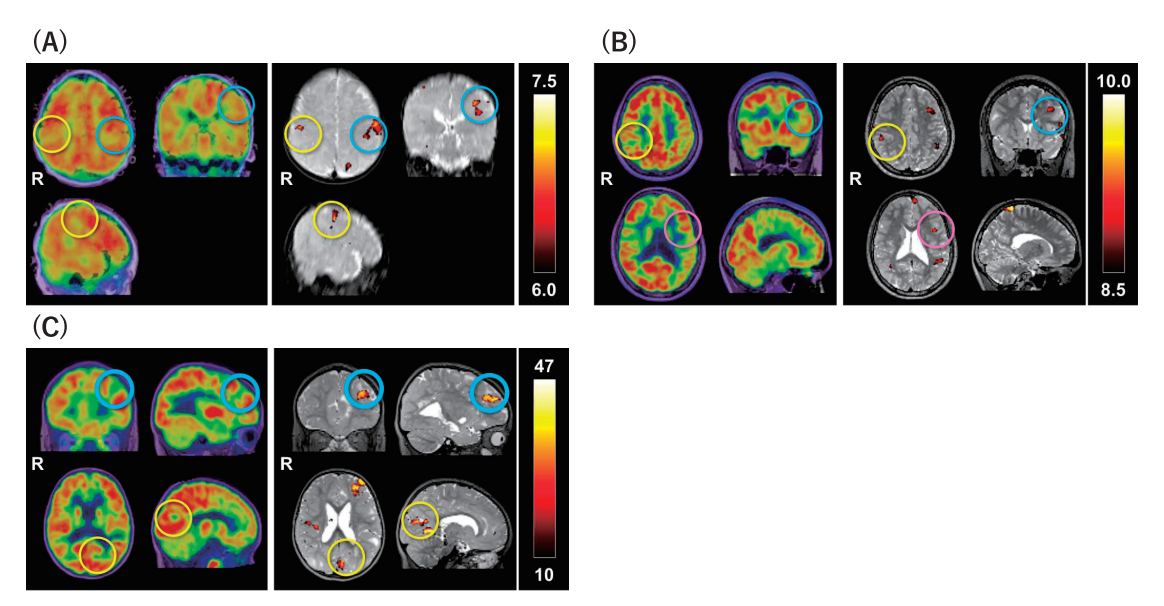


Fig. 1 画像所見

各図は左からそれぞれT1強調画像とFDG-PETの重ね合わせ,T2強調画像とEEG-fMRIの重ね合わせ,t値 (症例6では activation frequency: AF)を示す。 (A) 症例1のWest 症候群発症時の所見。t値の高いBOLD変化に絞ると2つの皮質結節に隣接する大脳新皮質の陽性BOLD変化が残存した。 (B) 症例3の所見。t値の高いBOLD変化に絞ると3つの皮質結節に隣接する大脳新皮質の陽性BOLD変化が残存した。 (C) 症例6の所見。左前頭葉,左後頭葉の皮質結節に隣接する大脳新皮質にAFの高い陽性BOLD変化を認め,左前頭葉でよりAFが高値であった。

脳新皮質に陽性BOLD変化を認めた6記録すべてで、陽性BOLD変化の各クラスターにおける最大のt値あるいはAFを認めたボクセルは正常皮質よりもFDG低集積の領域に認めた。代表的な画像所見をFig.1に示す。

## 【考察】

本検討で解析した8記録中6記録で、種々のてんかん放電に対応して皮質結節の中心ではなく結節に隣接する大脳新皮質にt値あるいはAFの高い陽性BOLD変化を認め、6記録すべてで陽性BOLD変化を認めた部位は正常皮質よりもFDG集積が低かった。また4記録で、複数の皮質結節隣接の大脳新皮質に陽性BOLD変化を認めた。さらに、焦点てんかん放電を対象とした5記録のうち、複数箇所の皮質結節隣接の大脳新皮質に陽性BOLD変化を認めた2記録では、発作間欠期あるいは発作時脳波でてんかん原性が示唆された皮質結節隣接の大脳新皮質で陽性BOLD変化のt値やAFがより高かった。

皮質結節とてんかん原性領域の関係について は、Kannanらの検討では、皮質結節中心のて んかん放電が、結節の辺縁や結節周囲の皮質に おけるてんかん放電に先行し、皮質結節の中心 のてんかん原性を示唆した<sup>1)</sup>。一方 Okanishi ら の検討では、皮質結節以外に高周波振動を呈す る領域をすべて切除すると発作予後が良好であ り、皮質結節外、特に周辺部のてんかん原性が 示唆された2)。本検討では、焦点性てんかん放 電に対応した陽性BOLD変化は皮質結節隣接 の大脳新皮質に位置し、ヒプサリズミアを含む 広汎性てんかん放電についても、3例中2例で 皮質結節隣接の大脳新皮質で陽性BOLD変化 のt値が高かった。このことから、皮質結節に 隣接する大脳新皮質にてんかん原性があり.か つてんかんネットワーク形成に関与しているこ とが示唆された。

頭蓋内脳波を用いた検討から、TSCにおいて はてんかん性活動がてんかん原性に関与する皮 質結節から、別のてんかん原性に関与する皮質 結節へと伝播していることが示唆されている<sup>1.2)</sup>。本検討において、焦点性でんかん放電を解析対象とした5記録中2記録で複数の皮質結節に隣接する大脳新皮質に陽性BOLD変化を認め、脳波からてんかん原性が示唆される皮質結節においてより t 値や AFが高かった。EEG-fMRIからも、頭蓋内脳波による検討と同様でんかん性脳活動の"tuber-to-tuber propagation"が示唆されるとともに、てんかん原性に最も関与する皮質結節のみならず、てんかん性活動が伝播する皮質結節の同定にもEEG-fMRIが有用である可能性が示唆された。

本検討ではEEG-fMRIと併用するモダリティ としてFDG-PETを用いたが、過去に焦点切除 術を行ったTSC患者に対して脳磁図とFDG-PET を併用した検討では、術後に発作が消失 した9名中6名で、脳磁図の双極子はMRIで認 める皮質結節の周囲まで広がるFDG低集積域 に位置していた<sup>10)</sup>。本検討では焦点性てんかん 放電を解析対象とした5記録で、陽性BOLD変 化は皮質結節に隣接し、正常皮質より FDG低 集積の領域に位置しており、脳磁図による検討 と類似の結果が得られた。FDG-PETのみでは FDG集積低下の原因は判別困難であるが. EEG-fMRIでBOLD変化を認める部位のFDG 集積低下は主にてんかん性活動に伴う機能低下 によることが示唆され. 両者の併用により TSC患者においてより正確な焦点推定が可能 となりうると考えられた。

本検討の限界として、まず鎮静維持困難などにより検討症例数が少ないことが挙げられる。またてんかん外科手術が行われた症例がなく、頭蓋内脳波所見や切除範囲、また発作予後との比較も不可能であった。しかしながら、本検討からはTSC患者における頭蓋内脳波を用いた検討に矛盾しない結果が得られており、TSC患者のてんかん焦点また伝播経路の推定にEEG-fMRIとFDG-PETの併用が有用であることが示唆された。

#### 【結語】

本検討から、TSC患者において皮質結節に 隣接する大脳新皮質がてんかん原性をもつ可能 性,またてんかん性活動の伝播経路推定には至らなかったものの,皮質結節の間で伝播が起きていることが示唆された。TSC患者にEEG-fMRIとFDG-PETを併用することで,FDG集積低下の原因推定にもつながり,てんかん焦点をより正確に推定することが可能になると考えられた。今後,頭蓋内脳波所見や手術成績との比較により,本手法の妥当性を評価する必要がある。

### 【謝辞】

本研究にご協力くださった患者さまやご家族、またEEG-fMRI撮像にご尽力いただきました名古屋大学脳とこころの研究センター放射線技師の石塚晃氏にこの場をお借りして深謝申し上げます。最後に、本研究の遂行に多大なるご支援を賜りましたてんかん治療研究振興財団にも厚く御礼申し上げます。

#### 【文献】

- Kannan L, Vogrin S, Bailey C, Maixner W, Harvey AS. Centre of epileptogenic tubers generate and propagate seizures in tuberous sclerosis. *Brain* 2016 Oct; 139 (Pt 10): 2653-67.
- 2) Okanishi T, Akiyama T, Tanaka S, Mayo E, Mitsutake A, Boelman C et al. Interictal high frequency oscillations correlating with seizure outcome in patients with widespread epileptic networks in tuberous sclerosis complex. Epilepsia 2014 Oct: 55 (10): 1602-10.
- 3) Juhasz C, Chugani HT, Muzik O, et al. Neuroradiological assessment of brain structure and function and its implication in the pathogenesis of West syndrome. Brain Dev 2001: 23: 488-95.
- 4) Khoo HM, Hao Y, von Ellenrieder N, zazubovits N, Hall J, Olivier A et al. The hemodynamic response to interictal epileptic discharges localizes the seizure-onset zone. *Epilepsia* 2017 May: 58 (5): 811-23.
- 5) An D, Fahoum F, Hall J, Olivier A, Gotman J, Dubeau F. Electroencephalography/functional magnetic resonance imaging responses help

- predict surgical outcome in focal epilepsy. *Epilepsia* 2013 Dec : **54** (12) : 2184-94.
- 6) Bagshaw AP, Aghakhani Y, Benar CG, Kobayashi E, Hawco C, Dubeau F et al. EEGfMRI of focal epileptic spikes: analysis with multiple haemodynamic functions and comparison with gadolinium-enhanced MR angiograms. Hum Brain Mapp 2004 Jul; 22 (3): 179-92.
- 7) Cao J. The size of the connected components of excursion sets of chi<sup>2</sup>, t, F fields. Adv Appl Prob 1999: 31: 579-95.
- Bagarinao E, Maesawa S, Ito Y, Usui N, Natsume J, Watanabe H et al. Detecting subsecond changes in brain activation patterns during interictal epileptic spike using simultaneous EEG-fMRI. Clin Neurophysiol 2018 Feb: 129 (2): 377-89.
- 9) Ito Y, Maesawa S, Bagarinao E, Okai Y, Nakatsubo D, Yamamoto H et al. Subsecond EEG-fMRI analysis for presurgical evaluation in focal epilepsy. *J neurosurg* 2020 Mar 13: 134 (3): 1027-36.
- 10) Wu JY, Salamon N, Kirsch HE, Mantle MM, Nagarajan SS, Kurelowech L et al. Noninvasive testing, early surgery, and seizure freedom in tuberous sclerosis complex. *Neurology* 2010 Feb 2:74(5):392-8.